

OLGU SUNUMLARI

Schnyder Kristalin Kornea Distrofili Bir Olguda İn Vivo Konfokal Mikroskopi Bulguları

Ebru Görgün (), Nursal Melda Yenerel (*), Raciha Beril Küçümen (*), Banu Öncel (*), Demir Başar (*)*

ÖZET

Amaç: Schnyder kristalin kornea distrofisi tespit edilen 24 yaşındaki kadın hastanın in vivo konfokal mikroskopi bulgularını sunmak.

Yöntem: Olgu Sunumu.

Sonuçlar: Her iki gözünde görme azalması ve gözlerinde beyaz lekelerin oluşması şikayeti ile kliniğimize başvuran hastanın yapılan oftalmolojik muayenesi sonucunda Schnyder kristalin kornea distrofisi tanısı konularak in vivo konfokal mikroskopi uygulandı. Konfokal mikroskopide subepitelial kristalin birikimi ile uyumlu yüksek reflektivite gösteren materyal izlendi.

Tartışma: İn vivo konfokal mikroskopi, Schnyder kristalin kornea distrofisinde meydana gelen morfolojik değişiklikleri değerlendirmede yardımcı bir inceleme yöntemidir.

Anahtar Kelimeler: İn vivo konfokal mikroskopi, Schnyder kristalin kornea distrofisi.

SUMMARY

In Vivo Confocal Microscopy Findings of a Patient with Schnyder Crystalline Corneal Dystrophy

Purpose: To describe the in vivo confocal microscopic findings of a 24 years old female patient with Schnyder crystalline corneal dystrophy.

Method: Case report.

Results: The patient presented with bilateral visual impairment and formation of white spots in her eyes. After ophthalmological examination, Schnyder crystalline corneal dystrophy was diagnosed and in vivo confocal microscopy was performed. Accumulation of reflective material consistent with subepithelial crystalline deposits was observed in confocal microscopy.

Discussion: In vivo confocal microscopy is a complimentary imaging technique to evaluate the morphological changes in Schnyder crystalline corneal dystrophy.

Key Words: In vivo confocal microscopy, Schnyder crystalline corneal dystrophy.

(*) Yeditepe Üniversitesi, Göz Hastalıkları Anabilim Dalı, İstanbul

Yazışma adresi: Yard. Doç. Dr. Ebru Görgün, Sakir Kesebir Sok. No 28,
Balmumcu - Beşiktaş, İstanbul E-posta: ebrugorgun@gmail.com

Mecmuaya Geliş Tarihi: 18.08.2008

Düzeltilmeden Geliş Tarihi: 25.09.2008

Kabul Tarihi: 07.10.2008

GİRİŞ

Schnyder kristalin kornea distrofisi (SKKD), sentral ve periferik kornea stromasını etkileyen otozomal dominant geçişli bilateral nadir bir kalitsal kornea hastalığıdır. Hastalık, erken yaşlarda ortaya çıkmakta ve bazen de konjenital olabilmektedir (1,2). Hastalıktan sorumlu gen birinci kromozom 1p34.1-36 lokusu üzerinde bulunmaktadır (3). Fibroblastlarda lipid üretimi ile ilişkili gen de bu alanda yer aldığından, hastalığın oluşumundan keratositler tarafından lipid yapımının sorumlu olabileceği ileri sürülmektedir (4).

Hastalığın başlıca bulgusu, polikromatik kristallerden oluşan bilateral kornea santralinde opasifikasiyon

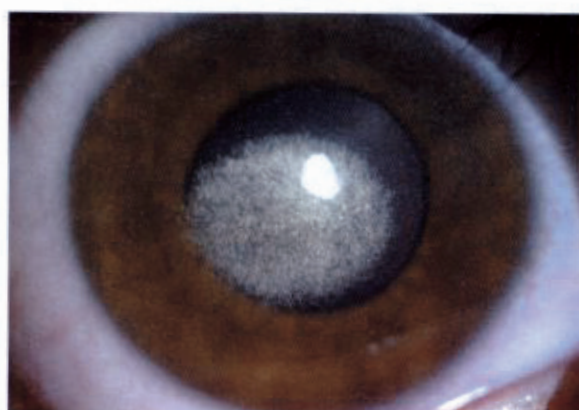
ve/veya belirgin bir arkus lipidozisidir (5). Tanı genellikle klinik bulgulara dayanılarak konulmaktadır.

Excimer laser fototerapötik keratektomi (PTK), ön stromadaki yoğun kristallere bağlı olarak görme keskinliğinin azaldığı olgularda uygulanabilmektedir (6,7). Korneada yoğun kristal birikiminin olduğu olgularda kornea nakli gerekebilir. Lameller ve penetrant kornea nakli uygulanan olguların greftlerinde kolesterol kristallerinin tekrarlayabileceği bildirilmiştir (8).

OLGU SUNUMU

Her iki gözde görme azalması ve gözünde parlak beyaz lekeler oluşması şikayetiyile kliniğimize başvuran

Resim 1a ve 1b. Olgunun sağ ve sol gözün ön segment fotoğrafları kornea santralindeki polikromatik kristallerden oluşan opaklaşmayı gösteriyor.

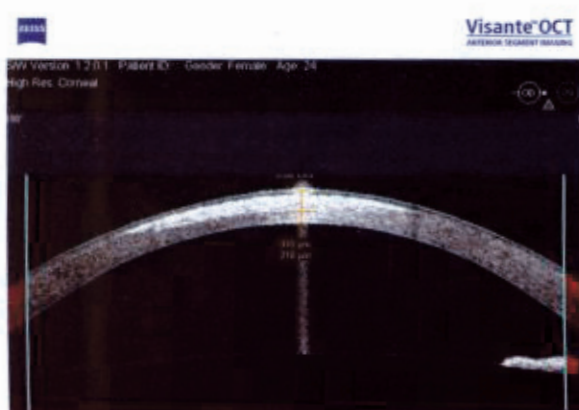


a

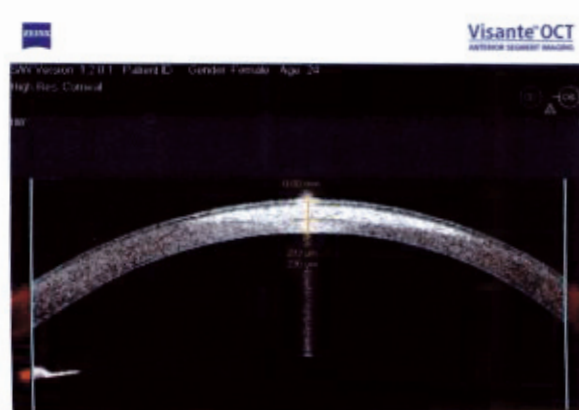


b

Resim 2a ve 2b. Sağ ve sol gözün ön segment optik koherens tomografisi ile çekilmiş yüksek rezolüsyonlu kornea tarama modu görüntüsü. Hiperreflektan materyalin korneadaki derinliği izleniyor.



a



b

24 yaşındaki kadın hastanın alınan anamnezinden hastlığın ilk kez dışarıdan fark edilen beyaz lekelerle 10 yaşında iken ortaya çıktığı öğrenildi. Hasta, yaşınnın ilerlemesiyle birlikte beyaz lekelerin büyüdüğünü, belirginleştiğini ve sağ gözde daha fazla olmak üzere görmesinin azaldığını ifade etmekteydi.

Hastanın yapılan oftalmolojik muayenesinde, görme keskinliği sağ gözde 0.3 sol gözde 0.6 seviyesindedi. Biyomikroskopik ön segment muayenesinde her iki kornea santralini etkileyen polikromatik kristallerden oluşan opaklaşma izlendi (Resim 1a ve 1b). Olgunun her iki gözde göz içi basınç değerleri ve fundus muayene bulguları normal olarak saptandı.

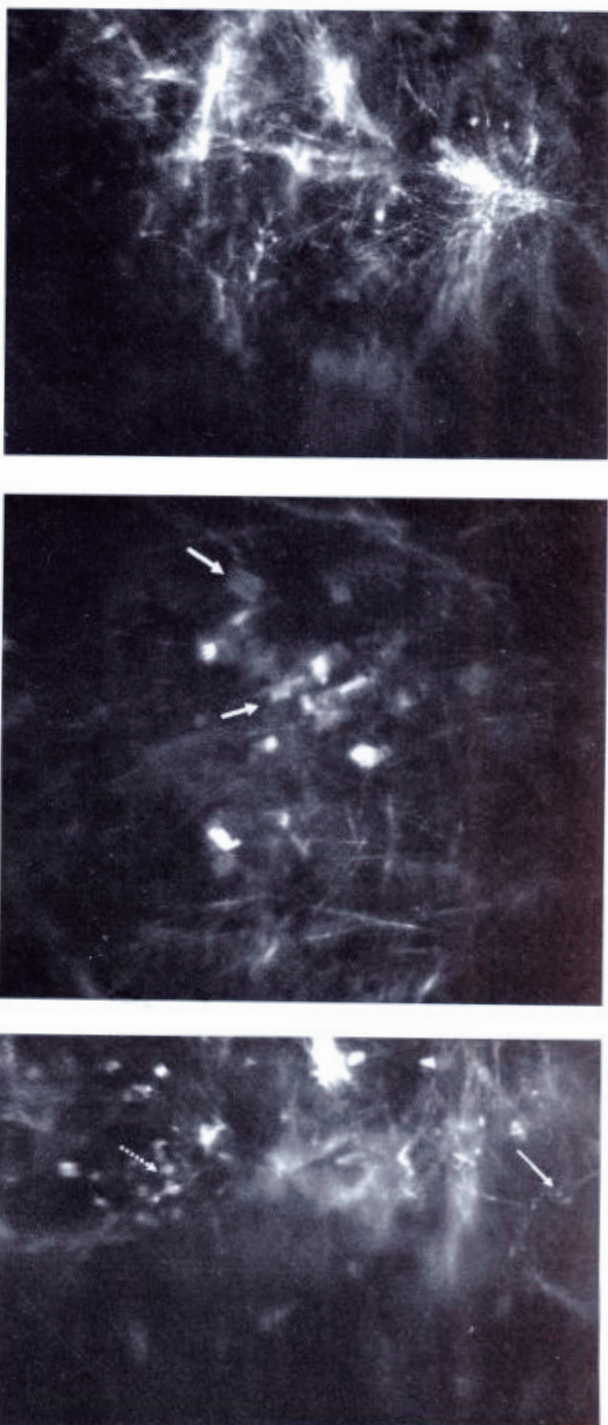
Ön segment optik koherens tomografisi (Visante OCT, Carl Zeiss Meditec) ile yüksek çözünürlülü kornea imajları kaydedildi. Kesitlerde, muayenede opaklaşma izlenen alanlara uyen ön stroma yerleşimli hiperreflektivite gözlendi. Sağ gözde santral kornea kalınlığı 536μ , hiperreflektan alan derinliği 318μ ölçülürken, sol gözde santral kornea kalınlığı 529μ , hiperreflektan alan derinliği 293μ olarak ölçüldü (Resim 2a ve 2b).

Her iki gözün santral korneası, %0,5lik proparakan hidroklorür uygulamasını takiben ConfoScan 4 konfokal mikroskopu (Nidek, Inc., Fremont, CA) ile inceletindi. Çekimler esnasında mikroskopun 40X objektifi kullanıldı. Konfokal mikroskopi kesitlerinde sağlıklı kornealarda izlenen endotel ve arka stroma, bizim olgumuzda ön stromada yüksek reflektivite veren materyal birikimi nedeniyle izlenemedi. Bu madde birikiminin ön stromada yoğun olarak fibriler ve köşeli yapıda olduğu gözlendi. Maddenin çok yoğun olduğu kesitlerde keratosit hücre çekirdeğine rastlanmadı, bazı kesitlerde ise az sayıda değişken yapıda hücre çekirdeği izlendi. Subepitelial sinir pleksusu ve epitel katlarına ait görüntü elde edilemedi. Tek bir kesitte bir adet sinir lifine ait görüntü mevcuttu (Resim 3a, 3b, 3c).

TARTIŞMA

SKKD tanısı klinik bulgulara dayanılarak konulan, santral ve periferik kornea stromasını etkileyen nadir bir kalitsal kornea hastalığıdır. Hastlığın yağ metabolizmasındaki lokalize bir bozukluktan kaynaklandığı düşünülmektedir ve hipercolesterolemİ ile ilişkili olabileceği öne sürülmüştür (5). Fakat SKKD'nin ortaya çıkışında hipercolesterolemİnin şart olmadığı şeklinde karşı görüşler de bildirilmiştir (9). Yine de tanı konulduğunda hastaların serum kolesterol ve lipid düzeylerinin belirlenmesi eşlik edebilecek kardiyovasküler hastalık yönünden önemlidir. Bizim hastamızın serum lipid ve kolesterol seviyeleri normal sınırlar içerisinde tespit edilmiştir.

Resim 3. Olgunun konfokal mikroskopi kesitlerinde izlenen: **a.** Yüksek reflektivite gösteren fibriller yapıda kristaller **b.** Köşeli yapıda kristaller (beyaz oklar) **c.** Sinir lifi (beyaz ok) ve keratosit çekirdekleri (kesikli ok).



Histokimyasal ve ultrastrüktürel çalışmalar; yüzeysel stromada çift kırılımlı kristalleri, Bowman tabakasın-

da yüksek yağ içeriğini ve stromada yağ damlacıklarını göstermiştir (9). Aynı zamanda elektron mikroskopu ile epitel hücrelerinin ve yüzeysel stromada bulunan keratositlerin içerisinde yağ birikimi tespit edilmiştir (10). Klinik olarak görülen kristaller, keratositlerin içerisinde ve ekstrasellüler matrikste birikenコレsterol sonucu ortaya çıkmaktadır (11).

Vesaluoma ve ark.nın yaptıkları çalışmada, Schnyder'in kristalin kornea distrofisi bulunan aynı aileye mensup 5 birey incelenmiştir. Yaşları 7 ile 78 arasında değişen ve farklı evrelerde hastalık bulgusu bulunan olgulara konfokal mikroskopi incelemesi yapılmıştır. Hastlığın erken dönemlerinde yüksek reflektivite gösteren madde birikiminin ön keratositlerin içinde, çevresinde ve subepitelial sinirler boyunca gözlendiği bildirilmiştir. Aynı çalışmada; ilerleyen yaşla birlikte subepitelial kristal birikiminin artışı ve hastlığın geç dönemdeinde yoğun bir ekstrasellüler matriksle beraber büyük kristallerin ön stromada yerleştiği tespit edilmiştir. İlerleyen bulgularla basal epitelyal ve subepitelial inervasyonun hasarlandığı gözlenmiştir (11). Bizim olgumuzda her ne kadar arka stroma ve endotel, ön stroma ve subepitelial alandaki yüksek reflektivite gösteren materyal birikimi nedeniyle konfokal mikroskop ile görüntülenmemese de; ön segment optik koherens tomografide hastlığın stromanın tamamını değil özellikle ön bölümlerini etkilediğini düşündürecek bulgular elde edildi. Aynı zamanda, Vesaluoma'nın çalışmasını destekleyecek şekilde olgumuzda da subepitelial pleksus izlenmemektedir.

Schnyder kristalin kornea distrofisi her ne kadar tanısı klinik olarak konulan bir kornea patolojisi olsa da, hastlığın kornea tabakalarında meydana getirdiği morfolojik değişikliklerin ve bu hastalıktan sorumlu kristallerin gösterilmesinde in vivo konfokal mikroskopi başarılı bir yöntemdir.

KAYNAKLAR

1. Weiss JS: Visual morbidity in thirty-four families with Schnyder Crystalline Corneal Dystrophy (An American Ophthalmological Society Thesis). Trans Am Ophthalmol Soc 2007;105:616-648.
2. Murat Köksal, Şebnem Kargı, Gökhan Gürelik, Fikret Akata: Schnyder kristalin distrofili bir aile. Türk Oftalmoloji Gazetesi 2002;32:896-901.
3. Shearman AM, Hudson TJ, Andersen JM, et al: The gene for Schnyder's crystalline corneal dystrophy maps to human chromosome 1p34.1-p36. Hum Mol Genet 1996;5:1667.
4. Takeuchi TT, Furihata M, Heng HHQ, et al: Chromosomal mapping and expression of the human B120 gene. Gene 1998;213:189.
5. Weiss JS: Schnyder's dystrophy of the cornea. A Sweden-Finn connection. Cornea 1992;11:93-101.
6. Paparo LG, Rapuano CJ, Raber IM, et al: Phototherapeutic keratectomy for Schnyder crystalline corneal dystrophy. Cornea 2000;19:343.
7. Murat Köksal, Şebnem Kargı, Gökhan Gürelik, et al: Phototherapeutic keratectomy in Schnyder Crystalline Corneal Dystrophy. Cornea 2004;23:311-313.
8. Garner A, Tripathi RC: Hereditary crystalline stromal dystrophy of Schnyder. II. Histopathology and ultrastructure. Br J Ophthalmol 1972;56:400.
9. Weller RO, Rodger FC: Crystalline stromal dystrophy: histochemistry and ultrastructure of the cornea. Br J Ophthalmol 1980;64:46-52.
10. Rodrigues MM, Kruth HS, Krachmer JH, et al: Cholesterol localization in ultrathin frozen sections in Schnyder's corneal crystalline dystrophy. Am J Ophthalmol 1990;110:513-517.
11. Vesaluoma MH, Linna TU, Sankila ME, et al: In Vivo Confocal Microscopy of a Family with Schnyder Crystalline Corneal Dystrophy. Ophthalmology 1999;106:944-951.